

طراحی سیستم کنترل تطبیقی با بهره‌گیری از نظریه‌ی منطق فازی برای یک موشک هوا به زمین

سعید سعیدی (کارشناس ارشد)

سیدحسین ساداتی* (استادیار)

محمدعلی شاهی آشتیانی (استادیار)

دانشکده‌ی مهندسی هوافضا، دانشگاه صنعتی مالک اشتر، پردیس تهران

مهندسی مکانیک شریف، (پاییز ۱۳۹۲)
دردی ۲ - ۲۹، شماره‌ی ۲، ص. ۶۵-۷۳

در این نوشتار ساختار کنترل تطبیقی مبتنی بر نظریه‌ی منطق فازی ارائه شده است. وظیفه‌ی سیستم کنترل در این ساختار تعقیب فرامین زوایای اولر است. در سیستم کنترل مطرح شده، پایگاه قوانین کنترل‌کننده‌ی فازی به‌وسیله‌ی تنظیم پیوسته‌ی توابع عضویت و وزن‌های کنترل‌کننده‌ی فازی طی فرایند یادگیری، به‌صورت برخط (آنلاین) به‌روزرسانی می‌شود. در این رویکرد، از سیستم‌های فازی به‌منظور تقریب کنترل‌کننده‌های ناشناخته‌ی ایده‌آل استفاده می‌شود. پارامترهای تنظیم سیستم فازی به‌وسیله‌ی یک قاعده‌ی تعدیل برپایه‌ی نظریه‌ی لیاپانوف به‌روزرسانی می‌شوند. پارامترهای قاعده‌ی تعدیل طوری طراحی می‌شوند که همگرایی تابع لیاپانوف منتخب تضمین شود. در پایان نتایج شبیه‌سازی برای یک موشک هوا به زمین با برد کوتاه، با وجود نامعینی در مدل آئرودینامیکی موشک مورد نظر، نشان داده شده تا تأثیر قانون کنترل پیشنهاد شده اثبات شود.

واژگان کلیدی: اتوپالوت، موشک هوا به زمین، کنترل هوشمند، کنترل فازی تطبیقی مستقیم.

saeedsaeedi.eng@gmail.com
hsadati@hotmail.com
ma_shahi@yahoo.com

۱. مقدمه

باشد. در کاربردهای عملی هدایت به‌ندرت از روش «گام به عقب» استفاده می‌شود.

در مطالعات انجام شده بعدی^[۱] طراحی یک اتوپالوت پیچ با استفاده از روش کنترل مود لغزشی (SMC) تشریح شده است. طراحان ادعا کرده‌اند که این روش نتایج بسیار موفقیت‌آمیزی داشته است، اما چندان مورد استفاده قرار نمی‌گیرد؛ زیرا در سیستم SMC زمانی که سطوح لغزش نیازمند تطبیق در زمان تغییر شرایط پروازی است، از هر سیستم کلاسیکی کندتر عمل می‌کند. روش‌های کنترل هوشمند در کنترل موشک را می‌توان به روش‌های کنترل مبتنی بر شبکه‌ی عصبی و منطق فازی گروه‌بندی کرد. مزیت اصلی کنترل هوشمند نسبت به کنترل کلاسیک، مقاومت سیستم کنترل در برابر تغییرات محیطی و نامعینی‌های مدل است. اگرچه ممکن است کنترل‌کننده‌های کلاسیک در سیستم‌های با ساختار ساده مرجع باشند، این قبیل کنترل‌کننده‌ها در سیستم‌های متغیر با زمان و پیچیده عملاً ناکارآمدند. اینجاست که قدرت کنترل‌کننده‌هایی نظیر کنترل‌کننده‌ی فازی مفید واقع می‌شود. در چنین سیستم‌هایی، غالباً استفاده از سیستم‌های هوشمند به‌صورت ترکیبی به صرفه‌تر است. سیستم کنترل مذکور در چنین ساختاری قادر است بسیاری از خواص مطلوب نظیر مقاومت، سهولت تطبیق‌پذیری و سرعت عمل بیشتر را، در مقایسه با روش‌های مرسوم که به‌شدت به دینامیک مدل وابسته‌اند، با یکدیگر ترکیب کند. این قبیل سیستم‌ها، تطبیق‌پذیر و دارای توانایی یادگیری بوده و قادر به ارتقاء عملکرد خود در شرایط محیطی متغیرند. برای اطمینان از عملکرد و پایداری یک موشک ضدکشتی،

در دهه‌های گذشته، طراحی سیستم کنترل و هدایت موشک با استفاده از شیوه‌های کنترل کلاسیک انجام می‌گرفت و به‌منظور طراحی قوانین کنترلی برای کانال‌های طولی و عرضی -سمتی، نظریه‌های کنترل کلاسیک و مدرن بسیاری پیشنهاد شد. این شیوه‌ها در حوزه‌ی زمان و فرکانس، بیشتر برای سیستم‌های خطی و تغییرناپذیر با زمان قابل اعتماد بودند. اصولاً حلقه‌های کنترلی در برابر اثرات غیرخطی و متغیر با زمان باید از حاشیه‌ی مقاومت کافی برخوردار باشند، زیرا عملکرد حلقه‌ی کنترلی با تغییرات نقطه‌ی کار ثابت همراه نیست و متناسب با آن تغییر می‌کند.

در سال‌های اخیر، شاهد رشد قابل توجهی در زمینه‌ی کاربرد نظریه‌های کنترل مقاوم، غیرخطی، تطبیقی و هوشمند برای سیستم‌های کنترل پرواز موشک‌ها در راستای دست‌یابی به این اهداف برجسته بوده‌ایم. بدین‌منظور «روش گام به عقب» به‌خوبی در طراحی اتوپالوت موشک به کار گرفته می‌شود. محققین ضمن ارائه‌ی یک ساختار کنترلی بر مبنای این روش کنترلی^[۱] ادعا می‌کنند که اتوپالوت طراحی شده با استفاده از روش مذکور در برابر هر دو نوع نامعینی‌های پارامتری و ترم‌های آئرودینامیکی مقاوم است و پایداری سیستم حاصله را نیز تضمین می‌کند. از طرف دیگر، زمانی که ورودی کنترلی نیازمند به‌روزرسانی طبق تغییرات پارامترهای پروازی است، ممکن است اجرای این رویه نیازمند زمان زیادی

* نویسنده مستقر

تاریخ: دریافت ۱۳/۱۰/۱۳۹۰، اصلاحیه ۱۵/۷/۱۳۹۱، پذیرش ۳۱/۱/۱۳۹۲.

۲. مدل ریاضی موشک

در شکل ۱ مدل موشک مورد مطالعه و برخی از مشخصات هندسی و فیزیکی آن نمایش داده شده است. معادلات حرکت موشک را می‌توان با استفاده از معادلات دیرانسیل غیرخطی مرتبه‌ی اول چنین نوشت: [۱۱]

$$\begin{cases} F_x = m(\dot{u} + qw - rv) \\ F_y = m(\dot{v} + ru - pw) \\ F_z = m(\dot{w} + pv - qu) \end{cases} \quad (۱)$$

$$\begin{cases} L = I_x \dot{p} + qr(I_z - I_y) \\ M = I_y \dot{q} + rp(I_x - I_z) \\ N = I_z \dot{r} + pq(I_y - I_x) \end{cases} \quad (۲)$$

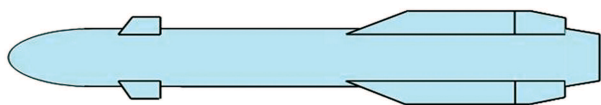
$$\begin{cases} \dot{\phi} = p + q \sin \phi \tan \theta + r \cos \phi \tan \theta \\ \dot{\theta} = q \cos \phi - r \sin \phi \\ \dot{\psi} = (q \sin \phi + r \cos \phi) \sec \theta \end{cases} \quad (۳)$$

$$\begin{bmatrix} \frac{dx}{dt} \\ \frac{dy}{dt} \\ \frac{dz}{dt} \end{bmatrix} = B^{-1} \begin{bmatrix} u \\ v \\ w \end{bmatrix} \quad (۴)$$

معادلات ۱ تا ۴ به ترتیب معادلات نیرو، گشتاور، سرعت‌های زاویه‌ی بدنه برحسب سرعت‌های زاویه‌ی اولر، و سرعت موشک در محورهای ثابت برحسب زوایای اولر و مؤلفه‌های سرعت بدنه هستند. در معادله‌ی ۴، ماتریس $B^{-1}(۳, ۳)$ را ماتریس انتقال برحسب زوایای اولر می‌نامند که به صورت معادله‌ی ۵ تعریف می‌شود:

$$B^{-1}(۳, ۳) = \begin{bmatrix} C\theta.C\psi & S\phi.S\theta.C\psi - C\phi.S\psi & C\phi.S\theta.C\psi - S\phi.S\psi \\ C\theta.S\psi & S\phi.S\theta.S\psi + C\phi.C\psi & C\phi.S\theta.S\psi - S\phi.C\psi \\ -S\theta & S\phi.C\theta & C\phi.C\theta \end{bmatrix} \quad (۵)$$

و در آن $C\theta$ و $S\phi$ به ترتیب نشان‌گر عبارات $\cos \theta$ و $\sin \phi$ هستند. ضرایب و مشتقات آئرودینامیکی برای تمامی محدوده‌ی پاکت پروازی موشک توسط نرم‌افزار



برخی از مشخصات هندسی و فیزیکی مدل موشک		
پارامتر	مقدار	واحد
طول	۱۷۳	cm
قطر	۱۷/۸	cm
جرم	۵۹/۴۵	kg
مرکز جرم	۸۷/۴	cm
نیروی موتور	۷۰۰۰	N

شکل ۱. برخی از مشخصات هندسی و فیزیکی مدل موشک.

ترکیبی از روش‌های گام به عقب، کنترل لغزشی، کنترل تطبیقی و کنترل فازی برای طراحی قانون کنترل اتخاذ شده است. [۱۲] علت استفاده از این ترکیب آن است که ابتدا روش گام به عقب طراحی را بسیار ساده می‌کند، سپس یک کنترل‌کننده‌ی تطبیقی برای تضعیف پارامترهای نامعلوم و نامعینی‌ها به کار گرفته می‌شود و یک کنترل‌کننده‌ی لغزشی برای تضمین مقاوم بودن سیستم اعمال می‌شود. در نهایت یک کنترل‌کننده‌ی فازی برای تنظیم گزینش ترم‌ها در کنترل‌کننده‌ی لغزشی اتخاذ می‌شود.

همچنین محققین یک سیستم کنترل ترکیبی مبتنی بر شبکه‌ی عصبی ارائه کرده‌اند، [۱۳] که در آن یک کنترل‌کننده با بهره‌ی ثابت به صورت موازی با کنترل‌کننده‌ی شبکه‌ی عصبی عمل می‌کند. به منظور رفع نقیصه‌های رایج در کنترل‌کننده‌های تنظیم بهره‌ی متعارف، از ترکیب نظریه‌ی کنترل فازی و روش زمان‌بندی بهره استفاده شده است. [۶، ۵] امروزه در اکثر طرح‌های کنترل تطبیقی توسعه‌یافته، چنین فرض شده که مدلی دقیق از سیستم در دسترس باشد و پارامترهای خطی نامعلوم نسبت به توابع شناخته‌شده‌ی غیرخطی ظاهر می‌شوند. اما این فرضیات برای بسیاری از کاربردها و حالات عملی کافی نیست، بنابراین، مسئله‌ی کنترل سیستم‌های غیرخطی با آگاهی ناقص از مدل به‌عنوان یک چالش باقی می‌ماند. کنترل فازی -- به‌عنوان یک مدل روش طراحی آزاد -- کاربرد وسیعی برای پلانتهای پیچیده و با تعریف ناقص پیدا کرده است. اساساً کنترل فازی، یک روش طراحی با استفاده از دانش بشری است که توسط توابع عضویت و قوانین فازی مربوطه ایجاد می‌شود. با این حال گاهی یافتن توابع عضویت و قوانین فازی برای برخی پلانتهای مشکل است و با تغییر دینامیک‌های پلانتهای تنظیم پارامترهای کنترل فازی ضرورت بیشتری خواهد یافت. به منظور غلبه بر این مشکل، براساس نظریه‌ی تقریب جامع و توانایی یادگیری برخط سیستم‌های فازی، چندین طرح کنترل فازی - تطبیقی پایدار به‌منظور ترکیب نظام‌مند دانش متخصص توسعه یافت.

از نظر مفهومی، دو رویکرد مجزای مستقیم و غیر مستقیم در طراحی سیستم کنترل فازی - تطبیقی شکل‌دهی می‌شوند. در رویکرد مستقیم، سیستم‌های فازی برای تقریب کنترل‌کننده‌های ایده‌آل به کار می‌روند در حالی که در رویکرد غیرمستقیم، سیستم‌های فازی برای تخمین دینامیک‌های پلانتهای استفاده می‌شود و سپس براساس تخمین صورت گرفته، یک قانون کنترلی ایجاد می‌شود. در زمینه‌ی طراحی سیستم‌های کنترل فازی - تطبیقی کارهای متعددی انجام شده است. [۷-۱۰] نتایج حاصله نشان می‌دهد که در ساختارهای کنترلی ارائه‌شده در این کارها، کنترل‌کننده‌های فازی با رویکردی مؤثر برای ترکیب و تنظیم پایگاه‌های قوانین ایجاد می‌شوند. همچنین، آموزش و وفق‌پذیری ساختارهای فازی - تطبیقی، به‌طور دینامیکی قابلیت تنظیم پایگاه قوانین کنترل‌کننده‌های فازی را برای تطبیق تغییرات در پارامترهای سیستم و حذف اثر اغتشاشات، دارا بوده و آن را به یک ساختار بسیار مقاوم تبدیل کرده است. زمانی که پلانتهای نامعینی‌هایی است ساختارهای مطرح شده قادرند سیستم را به عملکرد کامل و مطلوب خود برسانند.

در مقاله‌ی پیش‌رو، از رویکرد مستقیم برای طراحی کنترل‌کننده‌ی فازی - تطبیقی برای کانال‌های رول، پیچ و یاو یک موشک هوا به زمین استفاده شده است. در این نوشتار ابتدا مدل غیرخطی از موشک توصیف، و سپس کنترل‌کننده‌ی فازی تطبیقی مستقیم طراحی می‌شود. در انتها، به‌منظور اثبات تأثیر قانون کنترل پیشنهادی و میزان مقاومت سیستم کنترل مطرح‌شده، نتایج شبیه‌سازی شش درجه آزادی -- علی‌رغم نامعینی در مدل آئرودینامیکی موشک مورد نظر -- نشان داده می‌شود.

Missile Datcom محاسبه شده‌اند. نیروها و ممان‌های آئوردینامیکی به ترتیب از معادلات ۶ و ۷ محاسبه می‌شوند: [۱۲]

$$F_{x,y,z} = C_{x,y,z}QS + T_x + G_{x,y,z} \quad (۶)$$

$$M_{x,y,z} = C_{l,m,n}QSc \quad (۷)$$

مؤلفه‌های نیروی جاذبه در معادله‌ی ۶، از معادله‌ی ۸ به دست می‌آیند: [۱۲]

$$\begin{cases} G_x = -mg \sin \theta \\ G_y = mg \cos \theta \sin \phi \\ G_z = mg \cos \theta \cos \phi \end{cases} \quad (۸)$$

ضرایب آئوردینامیکی با استفاده از بسط سری تیلور حول نقاط ترم پارامترهای پروازی به منظور به کارگیری آنها در طراحی، به شکل معادله‌ی ۹ نوشته شده‌اند:

$$C_i = C_{i\alpha}(M, \alpha, \beta) + C_{i\alpha}(M, \alpha, \beta) \cdot \alpha + C_{i\beta}(M, \alpha, \beta) \cdot \beta + C_{i\delta}(M, \alpha, \beta) \cdot \delta + C_{ip}(M, \alpha, \beta) \cdot p \cdot \frac{d}{\sqrt{V}} + C_{iq}(M, \alpha, \beta) \cdot q \cdot \frac{d}{\sqrt{V}} + C_{ir}(M, \alpha, \beta) \cdot r \cdot \frac{d}{\sqrt{V}} + HOT \quad (۹)$$

که در آن HOT به معنای ترم‌های مرتبه‌ی بالاست و ترم ضرب‌شونده‌ی $\frac{d}{\sqrt{V}}$ برای بی‌بعد کردن مشتقات آئوردینامیکی به کار می‌رود. بیان مشتقات آئوردینامیکی چنین است:

$$C_{i\theta_i}(M, \alpha, \beta) = \left. \frac{\partial C_i}{\partial \theta_i} \right|_{\theta_i = \theta_i} \quad (۱۰)$$

تعریف زاویه‌ی حمله، زاویه‌ی سرش جانبی و عدد ماخ عبارت است از:

$$\alpha = \tan^{-1}\left(\frac{w}{u}\right), \quad \beta = \tan^{-1}\left(\frac{v}{u}\right), \quad M = \frac{V}{a} \quad (۱۱)$$

۳. کنترل فازی تطبیقی مستقیم

سیستم تحت بررسی را می‌توان به صورت یک سیستم غیرخطی تک‌ورودی - تک‌خروجی وابسته به زمان بیان کرد:

$$\dot{X} = F(X, u), \quad y = h(x) \quad (۱۲)$$

که در آن $X \in R^n$ بردار حالت، $u \in R$ و $y \in R$ به ترتیب ورودی و خروجی سیستم‌اند، و F و h توابعی غیرخطی هستند. در این بخش با در نظر گرفتن سیستم غیرخطی ارائه شده در رابطه‌ی ۱۲، تعقیب مسیر مطلوب $y_m(t)$ توسط خروجی $y(t)$ را نشانه گرفته‌ایم. مشکل مدل ۱۲ این است که خروجی y به صورت غیرمستقیم و فقط از طریق متغیر حالت x میسر است، و نیز معادله‌ی حالت غیرخطی به‌ورودی u وابسته است در حالی که شکل عمومی خروجی (که معادل است با اولین متغیر حالت) به‌طور غیرمستقیم به ورودی وابسته است. بنابراین، اگر بتوان یک وابستگی مستقیم بین خروجی سیستم y و ورودی کنترل u پیدا کرد، آنگاه می‌توان مشکل کنترل ریابایی سیستم غیرخطی ۱۲ را حل کرد. درواقع این ایده براساس روش خطی‌سازی ورودی - خروجی برای طراحی کنترل‌کننده‌ی غیرخطی تشکیل شده است. ایده‌ی اصلی در روش مذکور این است که دینامیک‌های سیستم

غیرخطی (به‌طور کامل یا جزئی) به خطی تبدیل شوند. خطی‌سازی ورودی - خروجی کاملاً با روش خطی‌سازی قراردادی (نظیر روش خطی‌سازی ژاکوبین) - که در آن خطی‌سازی پس‌خورد به‌وسیله‌ی تبدیل دقیق حالت و پس‌خورد آن به جای تقریب خطی دینامیک‌ها صورت می‌پذیرد - تفاوت دارد. ایده‌ی اصلی خطی‌سازی ورودی - خروجی را می‌توان چنین جمع‌بندی کرد: مکرراً از خروجی y مشتق‌گیری می‌کنیم تا این که ورودی u ظاهر شود، آنگاه u را چنان تعیین می‌کنیم که قسمت غیرخطی حذف شود و در نهایت یک کنترل‌کننده بر پایه‌ی کنترل خطی طراحی می‌کنیم. [۱۳، ۱۴]

اگر لازم باشد برای ایجاد وابستگی مستقیم بین خروجی y و ورودی u ، از خروجی یک سیستم r بار مشتق گرفته شود، آنگاه گفته می‌شود که سیستم دارای درجه‌ی وابستگی r است. برای هر سیستم کنترل‌پذیر از مرتبه‌ی n می‌توان رسماً نشان داد که برای ظاهر شدن ورودی کنترل باید از هر خروجی حداکثر n بار مشتق‌گیری شود. به عبارت دیگر برای هر سیستم کنترل‌پذیر از مرتبه‌ی n درجه‌ی وابستگی r کوچک‌تر یا مساوی n خواهد بود. [۱۳، ۱۴]

با توجه به توضیحات ارائه شده، در این نوشتار:

۱. درجه‌ی وابستگی سیستم غیرخطی مدل ۱۲ (یعنی r) برابر ۲ است؛

۲. کنترل u به صورت خطی در $y^{(r)}$ ظاهر می‌شود، یعنی:

$$y^{(r)} = f(X) + g(x) \cdot u \quad (۱۳)$$

که در آن f و g توابعی ناشناخته‌اند و $g(x) \neq 0$ ؛

۳. دینامیک داخلی سیستم با توجه به کنترل‌کننده‌ی فازی - تطبیقی مطرح شده پایدار است. [۱۳، ۱۴]

هدف این مطالعه، طراحی کنترل‌کننده‌ی پس‌خور $u = u(x|\theta)$ بر پایه‌ی سیستم‌های فازی و ارائه‌ی قاعده‌ی تطبیق برای تنظیم بردار پارامتر θ ، به منظور تعقیب خروجی ایده‌آل y_m توسط خروجی y است. در این ساختار کنترل‌کننده‌ی فازی تنها یک سیستم فازی است که (در ابتدا) از دانش کنترلی بر پایه‌ی قواعد اگر - آنگاه فازی به صورت معادله‌ی ۱۴ ایجاد می‌شود:

$$Q^r, x_1, x_2, \dots, x_n, p_n^r \text{ است و } \dots, x_n, p_n^r \text{ است، آنگاه } u, Q^r \text{ است.} \quad (۱۴)$$

Q^r و p_i^r مجموعه‌های فازی در R هستند و $r = ۱, ۲, \dots, L_u$. کنترل‌کننده‌ی فازی باید به صورتی طراحی شود که قواعد ۱۲ بتوانند به‌طور طبیعی با یکدیگر ترکیب شوند.

۱.۳. طراحی کنترل‌کننده‌ی فازی

یک انتخاب طبیعی برای کنترل‌کننده‌ی فازی، به منظور ترکیب قواعد رابطه‌ی ۱۴، استفاده از سیستم فازی منفرد به شکل رابطه‌ی ۱۵ است:

$$u = u_D(x|\theta) \quad (۱۵)$$

که در آن u_D یک سیستم فازی است و θ مجموعه‌ی پارامترهای قابل تنظیم است. به‌طور مشخص، سیستم فازی $u = u_D(x|\theta)$ طی دو مرحله ساخته می‌شود:

گام اول) برای متغیرهای x_1, x_2, \dots, x_n ($i = ۱, ۲, \dots, n$) و m_i مجموعه‌ی فازی $A_i^{l_i}$ ($l_i = ۱, ۲, \dots, n$) را تعریف می‌کنیم، طوری که p_i^r ($r = ۱, ۲, \dots, L_u$) در رابطه‌ی ۱۴ را به عنوان حالت‌های خاص شامل شود.

فرض می‌کنیم Λ به صورت رابطیه ۲۳ تعریف شود و $B = (0, \dots, 0, b)^T$:

$$\Lambda = \begin{bmatrix} 0 & 1 & 0 & 0 & \dots & 0 & 0 \\ 0 & 0 & 1 & 0 & \dots & 0 & 0 \\ \dots & \dots & \dots & \dots & \dots & \dots & \dots \\ 0 & 0 & 0 & 0 & \dots & 0 & 1 \\ -k_n & -k_{n-1} & \dots & \dots & \dots & \dots & -k_1 \end{bmatrix} \quad (23)$$

دینامیک حلقه بسته را می‌توان به صورت برداری و مطابق رابطیه ۲۴ نوشت:

$$\dot{e} = \Lambda e + B [u^* - u_D(X|\theta)] \quad (24)$$

پارامترهای بهینه را مطابق رابطیه ۲۵ تعریف می‌کنیم: [۱۳]

$$\theta^* = \arg \min_{\theta \in R^{\prod_{i=1}^n m_i}} \left[\sup_{X \in R^n} |u_D(X|\theta) - u^*| \right] \quad (25)$$

کمینه خطای تقریب عبارت است از:

$$w = u_D(X|\theta^*) - u^* \quad (26)$$

با استفاده از روابط ۲۶ و ۱۸، معادله خطای ۲۴ را می‌توانیم به صورت رابطیه ۲۷ بازنویسی کنیم:

$$\dot{e} = \Lambda e + B (\theta^* - \theta)^T \xi(X) - B w \quad (27)$$

تابع لیاپانوف کاندید زیر را در نظر می‌گیریم: [۱۳]

$$V = \frac{1}{\gamma} e^T P e + \frac{B}{\gamma} (\theta^* - \theta)^T (\theta^* - \theta) \quad (28)$$

که در آن γ یک ثابت مثبت و P یک ماتریس مثبت است که معادله لیاپانوف ۲۹ را برآورد می‌سازد: [۱۳، ۱۴]

$$\Lambda^T P + P \Lambda = -Q \quad (29)$$

در رابطیه ۲۹، Q یک ماتریس مثبت معین $n \times n$ دلخواه است و Λ به وسیله رابطیه ۲۳ تعریف شده است. طبق فرض $b > 0$ و در نتیجه V نیز مثبت خواهد بود. با استفاده از رابطیه‌های ۲۷ و ۲۹، نیز با مشتق‌گیری از رابطیه ۲۸ داریم:

$$\dot{V} = -\frac{1}{\gamma} e^T Q e + e^T P B [(\theta^* - \theta)^T \xi(x) - w] - \frac{B}{\gamma} (\theta^* - \theta)^T \dot{\theta} \quad (30)$$

با فرض این که آخرین ستون ماتریس P باشد، آنگاه از $B = (0, \dots, 0, b)^T$ نتیجه می‌گیریم که $e^T P B = e^T P_n b$. بنابراین رابطیه ۳۰ را می‌توان چنین نوشت:

$$\dot{V} = \frac{1}{\gamma} e^T Q e - \frac{b}{\gamma} (\theta^* - \theta)^T [\gamma e^T P_n \xi(x) - \dot{\theta}] - e^T P_n b w \quad (31)$$

با انتخاب قاعده تطبیق به صورت رابطیه ۳۲:

$$\dot{\theta} = \gamma e^T P_n \xi(x) \quad (32)$$

آنگاه:

$$\dot{V} = -\frac{1}{\gamma} e^T Q e - e^T P_n b w \quad (33)$$

گام دوم) سیستم فازی $u_D = u(x|\theta)$ از $\prod_{i=1}^n \nu^{m_i}$ قاعده به صورت معادله ۱۶ ساخته می‌شود:

اگر $A_1^{l_1}$ ، x_1 است و \dots و $A_n^{l_n}$ ، x_n است، آنگاه u_D ، S^{L_1, \dots, L_n} است. [۱۶]

چنانچه قسمت اگر رابطیه ۱۶ با قسمت اگر رابطیه ۱۴ موافق باشد، $l_i = 1, 2, \dots, m$ و $(i = 1, 2, \dots, n)$ ، S^{L_1, \dots, L_n} معادل با Q^n در رابطیه ۱۴ خواهد بود، و در غیر این صورت با یک مجموعه فازی دلخواه معادل است. به طور مشخص، با استفاده از موتورهای استنتاج ضرب، فازی‌ساز منفرد و غیر فازی‌ساز میانگین مراکز، خواهیم داشت: [۱۳]

$$u_D(x|\theta) = \frac{\sum_{l_1=1}^{m_1} \dots \sum_{l_n=1}^{m_n} \bar{y}_{u^{l_1 \dots l_n}} \left[\prod_{i=1}^n \mu_{A_i}^{l_i}(x_i) \right]}{\sum_{l_1=1}^{m_1} \dots \sum_{l_n=1}^{m_n} \left[\prod_{i=1}^n \mu_{A_i}^{l_i}(x_i) \right]} \quad (17)$$

به عنوان پارامترهای قابل تنظیم انتخاب و در بردار $\theta \in R^{\prod_{i=1}^n m_i} = \nu^{m_i}$ جمع‌آوری می‌شوند، کنترل‌کننده فازی به صورت:

$$u_D(x|\theta) = \theta^T \xi(X) \quad (18)$$

خواهد شد که در آن $\xi(x)$ یک بردار $\prod_{i=1}^n \nu^{m_i}$ بُعدی با عناصر l_1, \dots, l_n خودش است:

$$\xi(X) = \frac{\prod_{i=1}^n \mu_{A_i}^{l_i}(x_i)}{\sum_{l_1=1}^{m_1} \dots \sum_{l_n=1}^{m_n} \left[\prod_{i=1}^n \mu_{A_i}^{l_i}(x_i) \right]} \quad (19)$$

بر اساس گام دوم، مقادیر باقی‌مانده به صورت تصادفی (یا مطابق با استراتژی خاصی) تعیین می‌شوند. بنابراین دانش‌کنترلی ۱۴ از طریق تنظیم پارامترهای اولیه در کنترل‌کننده فازی دخالت داده می‌شوند.

۲.۳. طراحی قاعده تطبیق

اگر کنترل ایده‌آل u^* مطابق رابطیه ۲۰ تعریف شود: [۱۳]

$$u^* = \frac{1}{g(x)} [-f(x) + y_m^{(n)} + K^T e] \quad (20)$$

و نیز با این فرض که $g(x) = B$ ، در کنترل ایده‌آل u^* (رابطیه ۲۰) خواهیم داشت: $e = y_m - y$ و $e = (e, \dot{e}, \dots, e^{(n-1)})^T$ و $e = (k_n, \dots, k_1)^T$ ؛ به طوری که همه ریشه‌های چندجمله‌یی $s^n + k_1 s^{n-1} + \dots + k_n$ در نیمه چپ صفحه مختلط قرار داشته باشد. با استفاده از رابطیه ۲۰ و با این فرض که سیستم غیرخطی مرتبه r ام باشد که به وسیله معادله دیفرانسیل ۱۳ بیان می‌شود، سیستم حلقه بسته ۲۱ حاصل خواهد شد:

$$e^{(n)} + k_1 e^{(n-1)} + \dots + k_n e = 0 \quad (21)$$

به دلیل انتخاب k داریم: $e(t) \rightarrow 0$ هرگاه $t \rightarrow \infty$ ؛ یعنی خروجی سیستم y به سوی خروجی حقیقی y_m ، به طور مجانبی (یا بسیار نزدیک به آن) همگرا می‌شود. با جایگذاری رابطیه ۱۵ در رابطیه ۱۳، و با مرتب‌سازی آن داریم:

$$\dot{e} = -K^T e + B [u^* - u_D(X|\theta)] \quad (22)$$

شدند. پس از اجرای شبیه‌سازی و دست‌یابی به محدوده‌ی تغییرات پارامترهای تنظیم، مقادیر اولیه‌ی این پارامترها چنین انتخاب شدند:

$$\theta_\phi(0) = [-0.03, -1.215, -0.16, 2.55, -0.08, -0.95, 1.3, 0.084, 0.007];$$

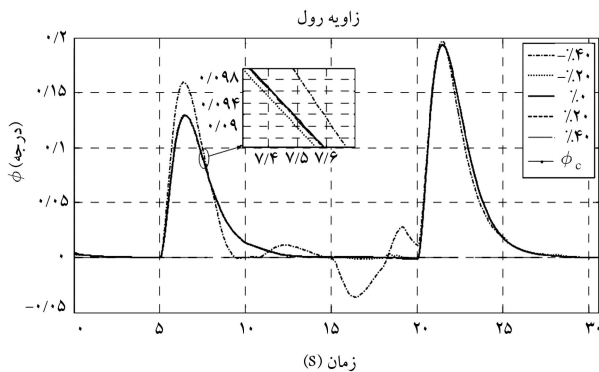
$$\theta_\theta(0) = [-0.028, -1.2, -0.15, 2.65, -0.05, -1, 1.3, 0.064, -0.012];$$

$$\theta_\psi(0) = [-0.03, -1.2, -0.15, 2.66, -0.104, -0.93, 1.3, 0.09, 0.044];$$

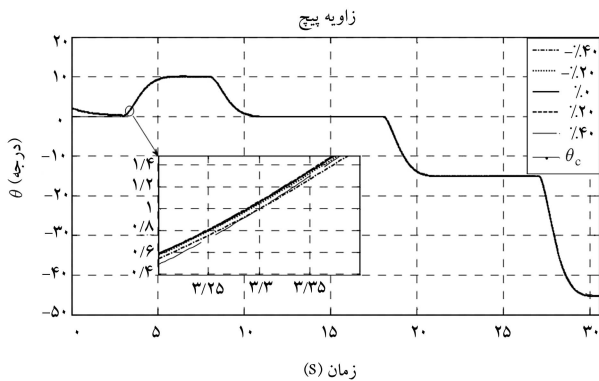
برای مثال، چنانچه x_1 زاویه‌ی پیچ، x_2 نرخ آن و ورودی الویتور باشد، برخی از این قواعد را می‌توان چنین بیان کرد:

- اگر x_1, x_2 و P_1^+ است، آنگاه u نزدیک -0.028 است.
- اگر x_1, x_2 و P_1^+ است، آنگاه u نزدیک -1.2 است.
- اگر x_1, x_2 و P_1^+ است، آنگاه u نزدیک -0.15 است.
- اگر x_1, x_2 و P_1^+ است، آنگاه u نزدیک 2.65 است.
- اگر x_1, x_2 و P_1^+ است، آنگاه u نزدیک -0.05 است.
- ...

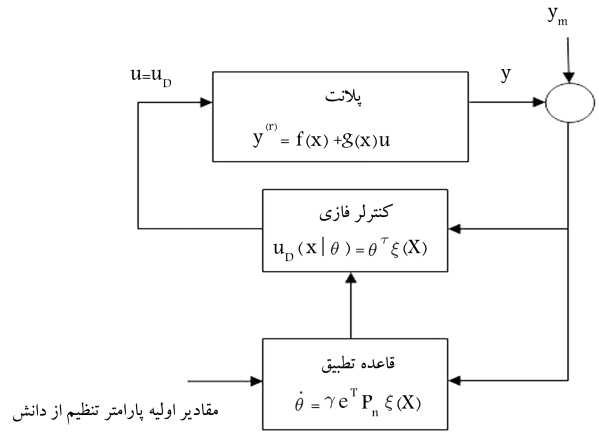
شکل‌های ۳ تا ۵ پاسخ سیستم به ورودی‌های فرمان رول، پیچ و یاورا نمایش می‌دهد. نمودارها به‌ازای شرایط نامی (٪) و همچنین به‌ازای $\pm 0.2\%$ و $\pm 0.4\%$



شکل ۳. تغییرات زاویه‌ی رول در برابر نامعینی ضرایب آئرو‌دینامیکی.



شکل ۴. تغییرات زاویه‌ی پیچ در برابر نامعینی ضرایب آئرو‌دینامیکی.



شکل ۲. سیستم کنترل فازی - تطبیقی مستقیم. مقادیر اولیه پارامتر تنظیم از دانش کنترلی تعیین می‌شود.

شکل ۲. سیستم کنترل فازی - تطبیقی مستقیم.

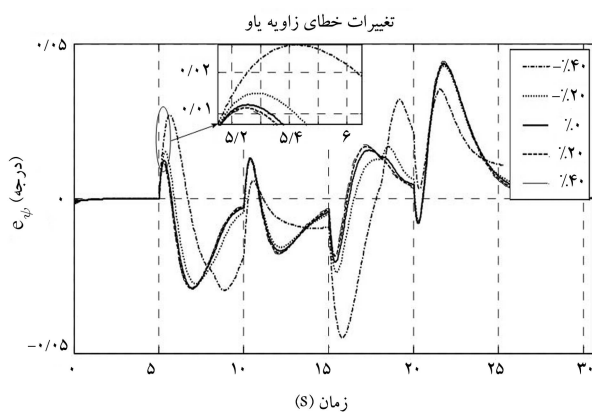
از آنجا که w و $Q > 0$ خطای تقریب کمینه است، می‌توانیم امیدوار باشیم که با طراحی یک سیستم فازی $u_D(x|\theta)$ به‌همراه تعداد قواعد به‌اندازه کافی بزرگ، w به‌اندازه‌ی کافی کوچک خواهد شد، به طوری که $\frac{1}{\gamma} e^T P_n b w < \frac{1}{\gamma} e^T Q e$ که $\dot{V} < 0$ را نتیجه خواهد داد.

در شکل ۲ سیستم کنترل فازی - تطبیقی مستقیم طراحی شده نشان داده شده است.

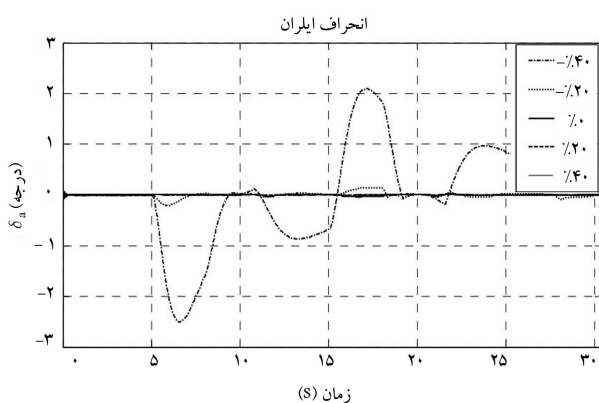
۴. شبیه‌سازی عددی

در بخش قبل کنترل‌کننده‌ی تطبیقی مبتنی بر منطق فازی برای تعقیب فرمان ψ, θ, φ طراحی شد. در این بخش نتایج شبیه‌سازی عددی برای کنترل‌کننده‌ی فازی تطبیقی ارائه شده تا عملکرد قانون کنترل پیشنهادی را ثابت کند. برای بررسی میزان مقاومت‌پذیری سیستم در برابر نامعینی‌های مدل آئرو‌دینامیکی، فرض می‌کنیم که ضرایب آئرو‌دینامیکی به دست آمده برای موشک تحت مطالعه دارای $\pm 0.2\%$ و $\pm 0.4\%$ خطا نسبت به حالت نامی باشند. نحوه‌ی اعمال این نامعینی‌ها بدین صورت است که: به‌منظور اضافه‌کردن 20% و 40% درصد نامعینی، آن دسته از ضرایب آئرو‌دینامیکی که عملکرد پرنده را تقویت می‌کنند (نظیر: $C_{L\delta_a}, C_{m\delta_a}, C_{Y\delta_r}, C_{Y\delta_r}, C_{m\delta_a}, C_{l\delta_a}$) به ترتیب در $1/4$ و $1/2$ ، و آن دسته از ضرایبی که عملکرد پرنده را تضعیف می‌کنند (نظیر: $C_D, C_{L_N}, C_{L_L}, C_M$) به ترتیب در 0.8 و 0.6 ضرب می‌کنیم. برای مقادیر 20% و 40% درصد نامعینی نیز، آن دسته از ضرایب آئرو‌دینامیکی که عملکرد پرنده را تقویت می‌کنند به ترتیب در 0.8 و 0.6 ، و آن دسته از ضرایبی که عملکرد پرنده را تضعیف می‌کنند به ترتیب در $1/2$ و $1/4$ ضرب می‌کنیم.

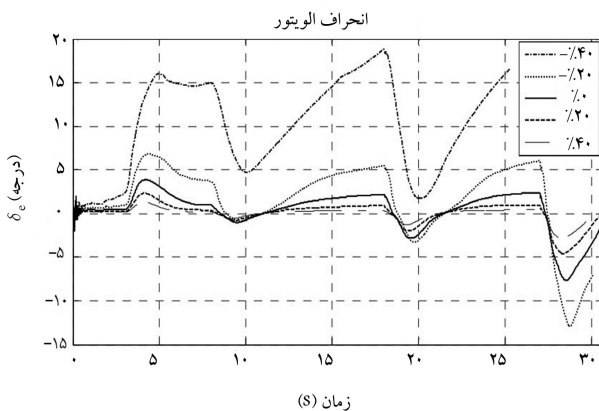
سیستم کنترل طراحی شده شامل ۳ کنترل‌کننده برای کانال‌های رول، پیچ و یاورا است. توابع تعلق کنترل‌کننده‌های فازی برای کانال‌های رول و پیچ در محدوده‌ی $[-\frac{\pi}{6}, \frac{\pi}{6}]$ و برای کانال یاورا در بازه $[-\frac{\pi}{6}, \frac{\pi}{6}]$ انتخاب شده‌اند. در فواصل یادشده، سه تابع تعلق از نوع گوسی در نظر گرفته شده با این فرض که تعداد قوانین پایگاه قواعد برای هر کنترل‌کننده برابر ۹ قانون و پارامتر تنظیم هر کنترل‌کننده‌ی فازی متشکل از یک بردار ۹ بعدی است. دانش کنترلی از طریق پارامترهای تنظیم اولیه‌ی $\theta_i(0)$ (قواعد ۱۴) مطابق گام دوم طراحی کنترل‌کننده‌ی فازی، دخالت داده می‌شود. مقادیر اولیه‌ی این پارامترها یعنی $\theta_\phi, \theta_\theta$ و θ_ψ اولین بار به‌صورت تصادفی از بازه $[-2, 2]$ انتخاب



شکل ۸. خطای زاویه‌ی یاو در حضور نامعینی ضرایب آئرو دینامیکی.

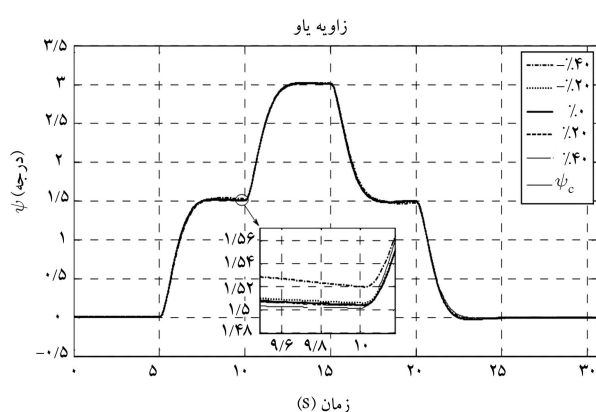


شکل ۹. تغییرات ایلران در برابر نامعینی ضرایب آئرو دینامیکی.



شکل ۱۰. تغییرات الویتور در برابر نامعینی ضرایب آئرو دینامیکی.

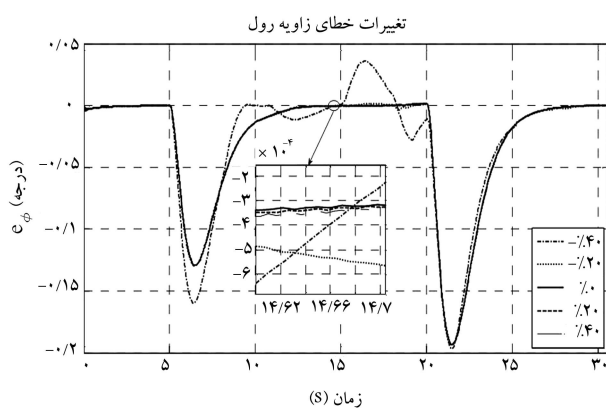
بیشتر است. با توجه به کاهش ۴۰ درصدی عملکرد سیستم در این وضعیت، به منظور جبران این کاستی تلاش کنترلی و انحراف سطح کنترلی ایلران افزایش یافته است. نمودار انحراف سطح کنترلی الویتور در شرایط حضور نامعینی‌ها در شکل ۱۰ ترسیم شده است. تعبیر مورد استفاده برای سطح کنترلی ایلران را می‌توان برای سطوح کنترلی الویتور و رادر نیز به‌کار برد. نمودار انحراف سطح کنترلی رادر در شرایط حضور نامعینی‌های ضرایب آئرو دینامیکی در شکل ۱۱ ترسیم شده است. شکل ۱۲ نمودار تغییرات سرعت‌های زاویه‌ی را نمایش می‌دهد. تغییرات نرخ رول موشک مطابق انتظار بسیار ناچیز و در حدود صفر است. نرخ‌های پیچ و یاو نیز متناسب با تغییرات



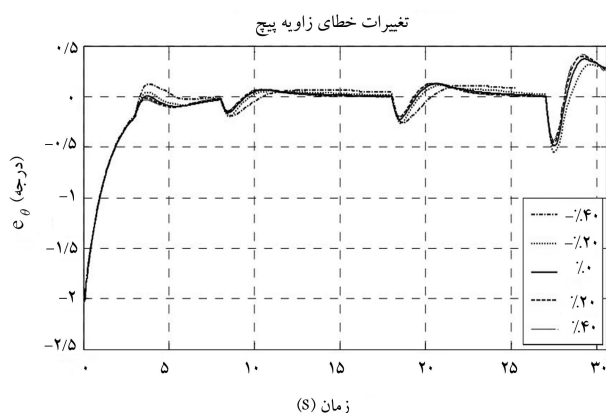
شکل ۵. تغییرات زاویه‌ی یاو در برابر نامعینی ضرایب آئرو دینامیکی.

خطای ناشی از نامعینی در ضرایب آئرو دینامیکی ترسیم شده‌اند. نتایج حاصله بیان‌گر عملکرد مطلوب کنترل‌کننده در تعقیب فرمان زاویه‌های رول، پیچ و یاو، و نیز نشان‌دهنده‌ی میزان مقاومت سیستم کنترل طراحی‌شده در برابر نامعینی‌های مدل آئرو دینامیکی است.

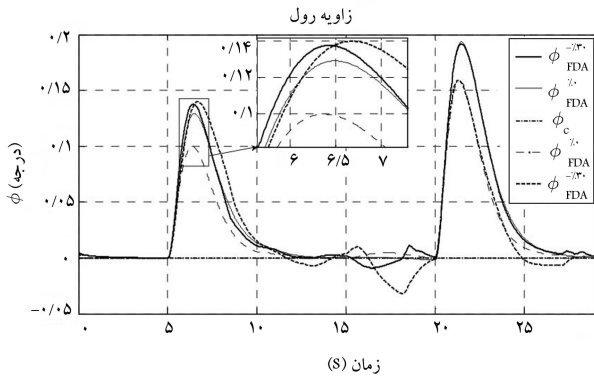
نمودارهای خطای تعقیب زوایای رول، پیچ و یاو، در شکل‌های ۶ تا ۸ نمایش داده شده‌اند. شکل ۹ انحراف سطح کنترلی ایلران را به‌ازای مقادیر مختلف نامعینی به‌نمایش می‌گذارد. چنان‌که در این شکل مشاهده می‌شود، میزان انحراف سطح کنترلی ایلران در حالت ۴۰٪ نامعینی در ضرایب آئرو دینامیکی، از سایر حالات



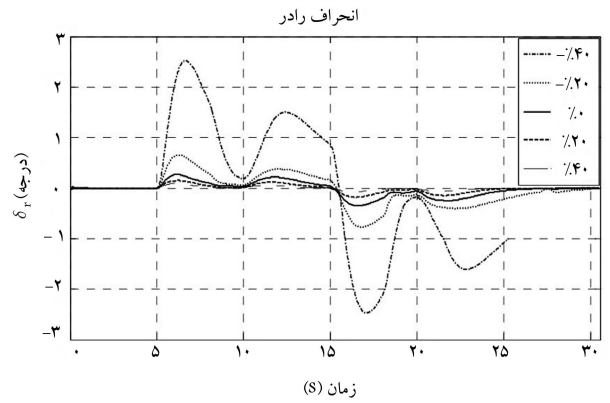
شکل ۶. خطای زاویه‌ی رول در حضور نامعینی ضرایب آئرو دینامیکی.



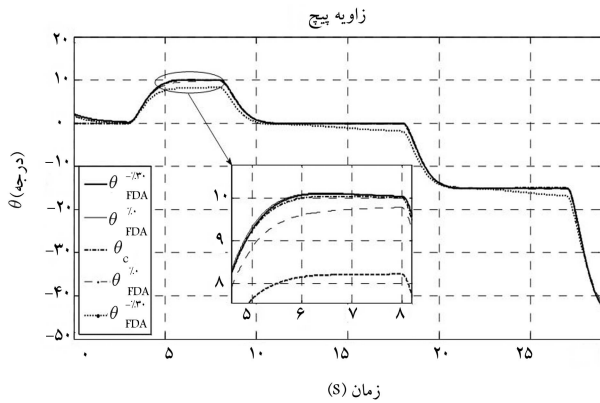
شکل ۷. خطای زاویه‌ی پیچ در حضور نامعینی ضرایب آئرو دینامیکی.



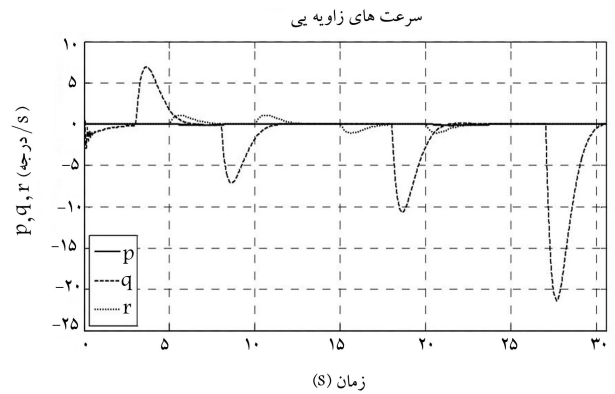
شکل ۱۳. مقایسه‌ی خروجی زاویه‌ی رول کنترل‌کننده‌های فازی تطبیقی و فازی خالص.



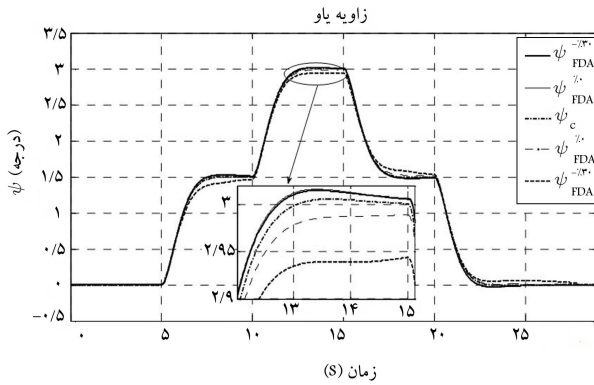
شکل ۱۱. تغییرات رادر در برابر نامعینی ضرایب آئرویدینامیکی.



شکل ۱۴. مقایسه‌ی خروجی زاویه‌ی پیچ کنترل‌کننده‌های فازی تطبیقی و فازی خالص.



شکل ۱۲. نرخ‌های زاویه‌ی رول، پیچ و یاو.



شکل ۱۵. مقایسه‌ی خروجی زاویه‌ی یاو کنترل‌کننده‌های فازی تطبیقی و فازی خالص.

زوایای پیچ، یاو و موشک، و نیز متناسب با انحراف سطوح کنترلی الوتور و رادر تغییر می‌کند.

برای بررسی عملکرد کنترل‌کننده‌ی فازی - تطبیقی طراحی شده، مقایسه‌ی با یک کنترل‌کننده‌ی فازی خالص صورت گرفته است. در طراحی کنترل‌کننده‌ی فازی خالص از ۵ تابع عضویت مثلثی برای متغیرهای ورودی و خروجی استفاده شده است و با توجه به این توابع عضویت، تعداد قوانین پایگاه قوانین فازی برابر ۲۵ قانون خواهد بود. در طراحی این کنترل‌کننده از موتور استنتاج کمینه (ممدانی) و فازی‌زادی مرکز ثقل استفاده شده است.

نتایج شبیه‌سازی بدون نامعینی و با حضور (۳۰٪) نامعینی در مدل آئرویدینامیکی موشک، در شکل‌های ۱۳ تا ۱۵ نشان داده شده است. خلاصه‌ی نتایج عملکرد دو کنترل‌کننده‌ی فازی تطبیقی و کنترل‌کننده‌ی فازی خالص مطرح شده در تعقیب فرامین کنترلی، در قالب جدول ۱ به نمایش درآمده است.

جدول ۱. مقایسه‌ی نتایج کنترل‌کننده‌ی فازی تطبیقی و کنترل‌کننده‌ی فازی خالص.

کنترل‌کننده‌ی فازی	۳۰٪ نامعینی در ضرایب آئرویدینامیکی (%)		عدم حضور نامعینی در ضرایب آئرویدینامیکی (%)	
	خطای تعقیب زاویه‌ی	خطای تعقیب زاویه‌ی	یاو	پیچ
تطبیقی	۰٫۴	۰٫۶۴	۰٫۴۵	۰٫۸۳
خالص	۲٫۲۲	۱۸٫۴۶	۰٫۶۸	۳٫۹۸

۵. نتیجه‌گیری

در این نوشتار ساختار یک سیستم کنترل یکپارچه برای یک موشک هوا به زمین مطرح شد. سیستم کنترلی یادشده با بهره‌گیری از ترکیب نظریه‌ی منطق فازی و روش کنترل تطبیقی طراحی و شبیه‌سازی شد. چنان که مشاهده شد، سیستم کنترل طراحی شده برای سه کانال رول، پیچ و یاو، مقاومت بسیار خوبی در برابر نامعینی‌های ناشی از ضرایب آئرویدینامیکی از خود به نمایش می‌گذارد. کنترل‌کننده‌های طراحی شده نیز

در نوشتار حاضر، یک سیستم کنترل فازی تطبیقی مستقیم مطرح شد که در آن سیستم فازی از دانش کنترلی -- و نه از دانش سیستمی (برخلاف سایر روش ها) -- ساخته شده است، و در ساخت آن از حداقل تعداد قواعد اگر-آنگاه (یعنی ۹ قاعده) استفاده شده است. همچنین این رویکرد نیازمند فرضیه‌های محدودتری نسبت به طرح غیرمستقیم است و مسئله‌ی سینگولاریتی در این کنترل‌کننده کم‌تر و به‌ندرت به‌وجود می‌آید.

هدف ما در این مقاله نقض کارایی سایر روش‌های مورد استفاده در زمینه‌ی کنترل‌کننده‌های فازی تطبیقی نیست بلکه بیان میزان تأثیر روش کنترلی مطرح شده در جبران اغتشاشات و نامعینی‌های موجود در سیستم‌هایی نظیر مدل مطرح شده در این مقاله، نسبت به کنترل‌کننده‌های فازی غیرتطبیقی است.

با توجه به مقالات و منابع از این دست،^[۷-۱۰] به جرأت می‌توان بیان کرد که روش مطرح شده در این مقاله و ایده‌ی پیاده‌سازی آن روی یک مدل ۶ درجه آزادی از یک موشک هوا به زمین (برگرفته از موشک AGM-۱۱۴ ساخت ایالات متحده) ایده‌ی نو بوده که در سایر مقالات و مراجع از این دست مشاهده نمی‌شود.

به‌طور کلی، مهم‌ترین مزیت‌های کنترل فازی تطبیقی طراحی شده را می‌توان چنین خلاصه کرد:

-- در چنین ساختاری عملکرد و کارایی بهتر معمولاً قابل دست‌یابی است، چرا که کنترل‌کننده‌ی فازی تطبیقی می‌تواند خود را با توجه به تغییرات محیطی تنظیم کند.

-- دانش کم‌تری از سیستم تحت کنترل لازم است، چرا که قاعده تعدیل می‌تواند در جهت یادگیری دینامیک سیستم در طی عملیات زمان حقیقی کمک کند.

فرامین زاویه‌های رول، پیچ و باور را در حضور نامعینی، با خطای بسیار اندکی نسبت به حالت نامی دنبال می‌کنند. در پایان، با مقایسه‌ی عملکرد کنترل‌کننده‌ی فازی تطبیقی و کنترل‌کننده‌ی فازی خالص، ملاحظه شد که در شرایط حضور نامعینی در سیستم تحت مطالعه، کنترل‌کننده‌ی فازی خالص همانند قبل (حالت بدون نامعینی) نتایج مطلوبی نداشته و لازم است در چنین شرایطی، توابع عضویت و همچنین پایگاه قوانین کنترل‌کننده‌ی مذکور به‌منظور دست‌یابی به پاسخ بهتر و مطلوب‌تر اصلاح شوند. این در حالی است که کنترل‌کننده‌ی فازی تطبیقی قادر است به‌واسطه‌ی قاعده‌ی تعدیل، پارامترهای تنظیم کنترل‌کننده‌ی فازی را با توجه به شرایط جاری تنظیم کند تا بهترین عملکرد و کم‌ترین خطا در تعقیب فرامین حاصل شود.

تفاوت موجود در روش کنترل فازی تطبیقی ارائه‌شده در این مطالعه با سایر مطالعات از این دست، عمدتاً به قاعده‌ی تنظیم پایگاه قوانین کنترل‌کننده‌ی فازی آنها مرتبط است. در روش به‌کاررفته در این نوشتار از قاعده‌ی ترکیب لیاپانوف برای طراحی قاعده‌ی تعدیل استفاده شده است. در عمده مقالات مطالعه شده تحت این مضمون، سیستم کنترل ارائه شده، کنترل‌کننده‌های فازی تطبیقی مدل مرجعی بوده‌اند که یا از یک مدل فازی معکوس برای به‌روزرسانی پارامترهای تنظیم کنترل‌کننده‌ی فازی استفاده می‌کنند، یا از مدل معکوس همان پلانت تحت کنترل. برخی دیگر از مقالات نیز در زمینه‌ی کنترل فازی تطبیقی وجود دارند که در آنها از روش گرادبان نزولی به‌صورت یک الگوریتم پس‌انتشار خطا برای آموزش و به‌روزرسانی پارامترهای تنظیم سیستم فازی بهره می‌برند. روش‌های دیگری همچون روش کنترل فازی تطبیقی غیرمستقیم نیز وجود دارد که در آن کنترل‌کننده‌ی فازی متشکل از تعدادی سیستم فازی است که این سیستم‌ها از روی دانش سیستمی مدل پلانت تحت کنترل ساخته شده‌اند.

منابع (References)

- Sharma M. and Ward, D.G. "Flight-path angle control via neuro-adaptive backstepping", Report of the American Institute of Aeronautics and Astronautics, USA (2002).
- Menon P.K. and Ohlmeyer, E.J. "Computer-aided synthesis of nonlinear autopilots for missiles", *Nonlinear Studies*, **11**(2), pp. 173-198 (2004).
- Yu-ting, X., Wen-jin, G., Peng-cheng H. and Guo-sheng, W. "Design of an adaptive stepping sliding mode controller for uncertain anti-ship missiles", *IEEE*, China, pp 677-681 (2010).
- Lin, C.L. and Su, H.W. "Intelligent control theory in guidance and control system design: An overview", *Proceedings of the National Science Council ROC(A)*, **24**(1), pp. 15-30 (2000).
- Lin, C.L. and Hwang, C.L. "A dynamically fuzzy gain-scheduled design for missile autopilot", *The Aeronautical Journal*, **1**(2), pp. 599-605 (October 2003).
- Mehrabian A.R. and Hashemi, S.V. "Fuzzy linear parameter varying modeling and control of an anti-air missile", *International Journal of control - Automation and systems*, **5**(3), pp. 324-328 (June 2007).
- Parkash R. and Anita, R. "Design of intelligent adaptive control using neural network and fuzzy logic controller", *European Journal of Scientific Research*, ISSN 1450-216X **57**(1), pp. 156-174 (2011).
- Yuan, Y., Feng, Y. and Gu, W. "Fuzzy model reference learning control for aircraft pitch autopilot design", *8th International Conference on Control, Automation, Robotics and Vision Kunming, China* (6-9th December 2004).
- Vasck, J. "Performance-based adaptive fuzzy control of aircrafts", *IEEE International Fuzzy System Conference*, pp.761-764 (2001).
- Patil, N.J., Chile, R.H. and Waghmare, L.M. "Implementation of model reference adaptive fuzzy controller", *IET-UK International Conference on Information and Communication Technology in Electrical Sciences* (ICTES 2007), pp. 100-104 (2007).
- Wang, L.X. "A course in fuzzy systems and control", Prentice-Hall International inc., Hong Kong University of Science and Technology (1997).

12. Nelson, R.C., *Flight Stability and Automatic Control*, McGraw-Hill book company, Aerospace & Mechanical Engineering Department University of Notre Dame, New York (1989).
13. Elhalwagy, Y.Z. and Tarbouchi, M. "Hybrid fuzzy model reference learning control for missile autopilot design", *WSEAS Int. Conferences MCBC, MCBE, ICAMSL, ICAI*, Puerto De La Cruz, Tenerife, Spain, ID 452-108, (19-21 Dec. 2002).
14. Astrom, K.J., *Adaptive Control*, Wesley (1995).

ADAPTIVE SYSTEM CONTROL DESIGN USING FUZZY LOGIC THEORY FOR AN AIR TO GROUND MISSILE

S. Saeedy

saeedsaeedi.eng@gmail.com

S. H. Sadati(corresponding author)

hsadati@hotmail.com

M.A.Shahi Ashtiani

ma_shahi@yahoo.com

**Dept. of Aerospace Engineering
Maleke-ashtar University of Technology**

Sharif Mechanical Engineering Journal
Volume 29, Issue 2, Page 65-73, Original Article

© Sharif University of Technology

- Received 3 January 2012; received in revised form 6 October 2012; accepted 20 April 2013.

Abstract

Abstract - In the past, the field of missile guidance and control system design has been dominated by classical control techniques. Typically these techniques are either time domain or frequency domain based, are applicable to linearized and time-invariant plants. Nonlinearities and time-varying effects must be coped with by a robustness margin of the control loop. The performance of the loop is hence not constant but will change with the operating point. When the time variation and nonlinearities are severe, it may not be an easy task to find a controller that can cope with it all. In recent years, we have seen a growing interest in applications of robust, nonlinear, adaptive and intelligent control theories to missile flight guidance and control systems. The main advantage of intelligent over classical control is that the former can provide robust systems when there are model and environmental uncertainties. Fuzzy logic, by giving control laws based on input-output relationships, avoids the need for accurate knowledge of system dynamics, and is thus insensitive to their changes. In simple systems the classical controller may be preferred while systems with more complex requirements and capabilities, the increased abilities of the fuzzy controller may be useful. In such a system, it is frequently advantageous to use hybrid intelligent systems. The resulting control system can incorporate many desirable qualities, such as robustness, ease of adaptability to new tasks, and is faster to produce than traditional methods that are heavily model dependent. Another feature of intelligent systems is that they could combine knowledge, techniques, and methodologies from various sources. These intelligent systems supposed adapt themselves and learn to enhance the performance in changing environments. In this paper, an adaptive control structure based on fuzzy logic theory is

presented. In this structure the control objective is track the command of Euler angles. In the aforementioned control system, fuzzy controller's knowledge-base, rule base are updated with continuous adjustment of membership function and weight of fuzzy controller through online learning. In this approach, fuzzy systems are used to approximate unknown ideal controllers. The adjustable parameters of the fuzzy systems are updated by an adaptive law based on a Lyapunov approach, i.e., the parameter adaptive laws are designed in such a way to ensure the convergence of a Lyapunov function. Finally the Simulation results for an air to ground short range missile with uncertain aerodynamic coefficients are presented to proof the proposed control law.

Key Words: autopilot, air to ground missile, intelligence control, direct adaptive fuzzy controller.